

## ارتباط بین نوع فرسایش و ویژگی‌های فیزیکوشیمیایی در مارن‌های استان همدان

\* منوچهر امیری: مرکز تحقیقات کشاورزی و منابع طبیعی استان همدان  
حمدی رضا پیروان: پژوهشکده حفاظت خاک و آبخیزداری کشور

### چکیده

از آنجا که مارن‌ها نسبت به فرسایش بسیار حساس بوده و سالیانه هزار تن رسوب ریزدانه و رس را راهی مخازن سدها و محل پخش سیلاب در ایستگاه‌های تغذیه مصنوعی می‌کنند و هزینه‌های پالایش آب شرب و پیش‌پالایی آب تغذیه مصنوعی را بهشت افزایش می‌دهد، بررسی مارن‌ها از ابعاد مختلف برای کارشناسان و محققان حائز اهمیت است. در این تحقیق سعی شده است تا متغیرهای مؤثر در نوع فرسایش برای مارن‌های استان همدان شناسایی و معرفی گردد. بهمین منظور از محل انواع فرسایش در ۴۹ نقطه، تعداد ۴۱ نمونه اخذ و برای تعیین مقدار متغیرهای فیزیکوشیمیایی به آزمایشگاه ارسال شد. همچنین مشخصات محل نمونه‌برداری‌ها همچون شیب، موقعیت جغرافیایی و هفت پارامتر سطحی خاک برداشت شد. در ۴۱ نقطه فوق‌الذکر، آزمایش باران مصنوعی با دستگاه بارانساز کامفورست انجام و ۴۱ نمونه رسوب-رواناب اخذ و در آزمایشگاه با استفاده از روش‌های ساده، مقدار رواناب و رسوب آن‌ها اندازه‌گیری شد. علاوه بر این، تعداد هفت نمونه از مارن‌ها با اشعه ایکس آنالیز و تعداد هشت مقطع نازک از مارن‌ها و سنگ‌های همراه تهیه و با میکروسکوپ پلاریزان بررسی شد. سپس داده‌های غیرنرمال با لگاریتمگیری نرمال گردید و همه داده‌ها با آنالیز واریانس و آنالیز تمیزی به دو روش پلکانی و همهگانی بررسی شد. ارزیابی ارتباط متغیرهای اندازه‌گیری شده و اشکال فرسایش نشان داد که اسیدیته (pH) تنها متغیر معنی‌دار و تا حدی مؤثر در شناسایی نوع فرسایش در منطقه است. حساسیت توابع فیشر در پیش‌بینی نوع فرسایش بهمکم دخالت همهگانی متغیرهای شیمیایی، فیزیکی و فیزیکو-شیمیایی بهترین معادل با ۷۵/۶، ۸۲/۹ و ۷۸ درصد است و نشان می‌دهد که مجموعه متغیرهای فیزیکی بهتر از مجموعه متغیرهای شیمیایی و فیزیکو-شیمیایی نوع فرسایش را پیش‌بینی می‌کند. در نهایت بهمکم این آنالیز‌ها برای پیش‌بینی نوع فرسایش در مارن‌های همدان توابع خطی فیشر تعیین و ارائه شد.

### مقدمه

مارن به مخلوطی از رس و کربنات کلسیم اطلاق می‌شود که میزان کربنات کلسیم آن بین ۳۵ تا ۶۵ درصد در تغییر است [۲]. در مارن‌ها، کانی‌های کلسیت و رس به عنوان جز اصلی وجود دارند و ممکن است سایر کانی‌ها

واژه‌های کلیدی: مارن، نوع فرسایش، بارانساز، همدان

پذیرش ۹۰/۴

دریافت ۸۸/۹/۱۸

\*نویسنده مسئول

Manucher.amiri@gmail.com

از جمله کوارتز، آلبیت، میکا، ایترینگیت و تومازیت، دولومیت، آلکالی فلدوپات، کلریت، کلینوکلر، ژیپس، انیدریت، هالیت و سیلویت نیز مشاهده شود [۹]. بهطور کلی مارن‌ها از دو جنبه مورد توجه قرار می‌گیرند نخست این‌که مارن‌ها دارای مواد اولیه تولید سیمان (کلسیم، سیلیس و آلومینیم) هستند که موضوع بحث این تحقیق نمی‌باشد. دومین اهمیت مارن‌ها مسئله فرسایش پذیری آن‌هاست که نسبت به فرسایش بسیار حساس است و سالیانه هزاران تن رسوب را راهی مخازن سدها و عرصه‌های پخش سیلاپ می‌کنند و موجب کاهش عمر مفید سدها و بالا بردن هزینه تصفیه آب برای ترسیب کلوئیدهای رسی می‌گردد و از طرف دیگر با تهشیبی کلوئیدهای رسی بر سطح خاک و کاهش چشمگیر نفوذپذیری در عرصه‌های پخش سیلاپ، هزینه‌های پیش پالایی را بهطور چشمگیری افزایش می‌دهد. امروزه در ایران رسوباتی که از این نهشته‌ها تولید می‌شود برای سدهای چون سفید رود و سدساوه به یک معرض تبدیل شده‌است. محققان معتقدند با شناسایی عوامل شیمیایی و فیزیکی مؤثر بر نوع و شدت فرسایش می‌توان برای کاهش اثر آن‌ها و در نتیجه کاهش شدت فرسایش، به روش‌های فیزیکی و شیمیایی اقدامات مؤثری را به عمل آورد [۸].

هرکدام از عوامل فیزیکی و شیمیایی بامکانیسم خاصی بر میزان و شکل فرسایش اثر می‌گذارد. عوامل شیمیایی با تلاشی ساختمان درونی کانی‌ها و تأثیر بر روی میزان پایداری آن‌ها، سبب تغییر میزان فرسایش می‌گردند. بررسی‌ها نشان می‌دهد که حلالیت یون‌ها و به طبع آن پایداری کانی‌ها و بهخصوص کانی‌های سیلیکاته تحت تأثیر اسیدیته خاک است و در مارن‌ها که محل تشکیل خاک‌های شور و سدیمی هستند، اسیدیته در حدود  $8/5$  و با قدری بالاتر است. این میزان اسیدیته باعث می‌شود تا عناصری مانند سیلیسیم، آلومینیوم و آهن موجود در ساختمان کانی‌ها، انحلال یابد و به دنبال آن ساختمان کانی متلاشی گردد [۱۸]. در غلطی معین از املاح خاک، کلوئیدهای خاک شروع به انعقاد می‌کنند که به غلط بحرانی انعقاد مشهور است. به عبارت دیگر در غلط‌های pH باعث افزایش مقدار غلط بحرانی انعقاد شده و خاکدانه‌سازی صورت نمی‌گیرد چون باعث متلاشی شدن کانی‌ها و آزادسازی کاتیون‌ها می‌شود [۱۶]. تحقیقات انجام شده بهمکم آزمایش‌های ترمودینامیک نشان می‌دهد که مارن‌ها با تغییرات pH و حضور آب و سولفات‌هایی مانند کچ و انیدریت، کانی‌های آبدار و متورمی همانند ایترینگیت<sup>۱</sup> و تومازیت<sup>۲</sup> تولید می‌کنند که می‌تواند باعث کاهش پایداری خاک و منجر به ایجاد بدندهای نایابدار گردد [۱۲]. مواد آلی با رس‌ها کمپلکس تشکیل داده و خاکدانه‌ها را در برابر سدیم و pH زیاد، محافظت می‌کند. در مارن‌ها که مقدار املاح نمکی زیاد است شرایط رشد گیاه فراهم نبوده و خاک دارای فقر ماده آلی است که به طبع آن خاکدانه‌سازی و ساختمان‌سازی صورت نمی‌گیرد و ذرات به صورت منفرد و بدون ساختمان به وجود می‌آید و در نتیجه این گونه خاک‌ها مستعد هرگونه فرسایش می‌گردند [۱۶]. بهطورکلی، بررسی‌های انجام شده نشان می‌دهد که اولاً وجود ترکیباتی مانند مواد آلی، آهک و اکسیدهای آهن و آلومینیوم به عنوان سیمان باعث پایداری

۱. Ettringite

۲. Thaumasite

مارن‌ها و یون‌های سدیم با پخش کردن ذرات رس موجب ناپایداری و افزایش شدت فرسایش در آن‌ها می‌گردد [۱۳]، [۱۴]. ثانیاً میانگین مقادیر پارامترهای نسبت جذب سدیم، سدیم قابل تبادل (E.S.P.)، هدایت الکتریکی،  $\text{Ca}^{2+}$ ,  $\text{HCO}_3^-$ ,  $\text{Na}^+$ ,  $\text{Cl}^-$ ,  $\text{pH}$  و کربن آلی در فرسایش‌های ورقه‌ای، شیاری و هزار دره‌ای دارای اختلاف معنی‌داری است و نشان می‌دهد که این ویژگی‌ها نقش مهمی در تشکیل نوع فرسایش ایفا می‌کنند که نقش متغیر نسبت جذب سدیم مهمتر است و شاخص مهمی برای طبقه‌بندی اشکال مختلف فرسایش تلقی می‌گردد، بهطوری‌که با افزایش مقدار این پارامتر، شکل فرسایش از ورقه‌ای به هزارهای تغییر می‌یابد [۳]، [۶]، [۸]. بررسی مناطق خندقی در مارن‌های آفریقای جنوبی و بدلندهای منطقه پتر<sup>۱</sup> در اسپانیا و سایر مناطق، موضوع فوق را تأیید کرده و نشان می‌دهد که بیشترین تراکم گالی‌ها در مارن‌هایی دیده می‌شود که نسبت جذب سدیم بالایی دارند [۱۲]، [۱۱]، [۹]. در بررسی رابطه بین نوع و مقدار فرسایش با متغیرهای فیزیکی و شیمیایی، محققان به پارامتر تلفات نسبی خاک که با دستگاه باران‌ساز انداز مگری و برآورد می‌شود توجه ویژه‌ای داشته و نتایج بررسی‌ها نشان می‌دهد که میزان ضریب فرسایش‌پذیری به دست آمده توسط باران‌سازهای استاندارد با مقادیر K بدست آمده از کرت‌های استاندارد صحرایی همبسته و دارای رابطه معنی‌داری است [۱۰]. در اغلب پروژه‌های حفاظت خاک، به تعداد زیادی تکرار آزمایش‌های باران مصنوعی به تعداد زیاد نیاز است و بنا بر این تحت این شرایط، کاربر به یک شبیه‌سازی نیاز دارد که براحتی و آسان حمل شود (کامفورست ۱۹۸۷). دستگاه باران‌سازی که مشخصات آن توسط کامفورست (۱۹۸۷) ارائه و بیان گردیده است دستگاهی کوچک و سبک است که در این پژوهش استفاده شده است.

در این پژوهش، رابطه بین شکل‌های مارن‌های منطقه با ویژگی‌های فیزیکو-شیمیایی آن‌ها به صورت آماری و کمی بررسی شده است تا مشخص شود که آیا متغیرهای خاصی در تشکیل نوع فرسایش، نقش اصلی را ایفا می‌کنند و یا این‌که همه متغیرها همراه با هم، به صورت مجموعه‌ای در تشکیل نوع فرسایش دخالت می‌کنند تا شاید با شناسایی نوع متغیر یا متغیرهای مؤثر، بنوان راههای پایدارسازی مارن‌های منطقه و مارن‌های مشابه آن‌ها را به‌کمک روش‌های شیمیایی و فیزیکی مشخص و پیشنهاد کرد.

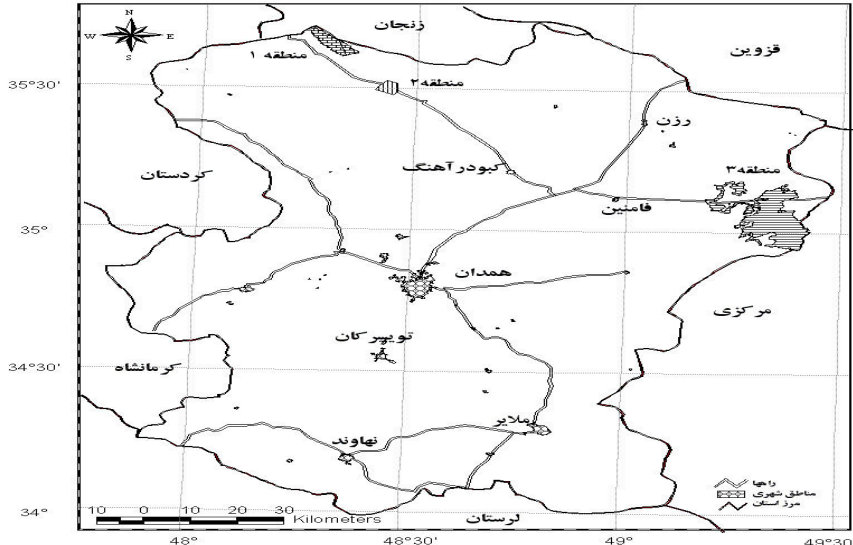
### موقعیت جغرافیایی منطقه

حدوده‌های مارن‌دار استان همدان در سه منطقه ایستی‌بلاع (در محدوده "۱۰°-۱۴°-۴۵° تا ۲۱°-۴۰°-۴۸° طول شرقی و "۴۰°-۳۶°-۳۵° تا "۴۵°-۴۲°-۳۵° عرض شمالی) به عنوان منطقه ۱، شیرین‌سو (محدوده "۴۵°-۴۱°-۲۴° طول شرقی و "۱۲°-۲۹°-۳۵° تا "۰۳°-۳۱°-۳۵° عرض شمالی) به عنوان منطقه ۲ و تجرک-فامنین (محدوده "۱۵°-۱۱°-۴۹° تا "۵۵°-۲۵°-۴۹° طول شرقی و "۰۴°-۳۸°-۳۴° تا "۰۵°-۱۰°-۳۵° عرض شمالی) به عنوان منطقه ۳ مشاهده می‌شوند. تشکیلات مارنی استان همدان در نقشه‌های ۱: ۲۵۰۰۰ به نام ورقه‌های

1. Petter

D<sub>6</sub> با رخساره مارن، ماسه سنگ و آهک و در جنوب شرقی نقشه زمین‌شناسی رزن با مقیاس ۱:۱۰۰۰۰ به صورت مارن‌های خاکستری تا سیز زیتونی با میان لایه‌های ستبر آهک تعریف شده و بر اساس وضعیت لیتوژوئی و میکروفسیل‌های موجود، سن آن‌ها الیکومیوسن پسین تا میوسن بالایی و جز تشکیلا قم محسوب می‌شوند. بر این مارن‌ها، شرایط آب و هوایی سرد و نیمه‌خشک حاکم است. در شکل ۱ موقعیت آن‌ها ارائه شده

اسٹ



شکل ۱. نقشه موقعیت جغرافیایی مناطق مارنی بررسی شده

مواد و روش‌ها

**الف. نمونه‌گیری‌های صحرایی**

در این پروژه ابتدا برای شناخت وضعیت میزالوژی مارن‌ها، تعداد هفت نمونه بپرسش دیفرکتمتری اشعة ایکس و برای تأیید یا رد سن آن‌ها پنج نمونه از مارن‌های نیمه‌سخت و سه نمونه از سنگ‌های آهکی و ماسه‌سنگی همراه، بهروش تهیه مقاطع نازک بررسی شد. سپس از خاک‌های مارنی در محل انواع فرسایش<sup>۶</sup> نمونه (۲۴ نمونه از دیوار<sup>۷</sup> ۱ خندق، ۸ نمونه از فرسایش‌های شیاری و ۱۷ نمونه از فرسایش‌های ورقه‌ای) هر کدام به وزن حدود ۲/۵ تا ۳ کیلوگرم انتخاب شد. در فرسایش ورقه‌ای، نمونه‌ها از شبیع عمومی دامنه‌ها و از نقطه وسط شبیع و با حفر چاله‌ای به عمق و قطر حدود ۰/۲۰ سانتی‌متر و در فرسایش شیاری، نمونه‌ها از نقطه شروع تشکیل شیار جوانتر و فعالتر از چاله‌ای به عمق و قطر ۰/۳۰ سانتی‌متر اخذ گردید. در فرسایش‌های خندقی نمونه‌ها از جوانترین و فعالترین خندق و از قسمت دیوار هدکت و با ایجاد شیاری به عمق حدود ۰/۵ سانتی‌متر، عرض حدود ۰/۵ سانتی‌متر و به طول معادل با عمق خندق و از هر لایه یک نمونه برداشت گردید. یعنی در برخی از خندق‌ها به دلیل وجود لایه‌های مختلف چندین نمونه اخذ و پس از اندازه‌گیری پارامترهای شیمیایی و فیزیکی، با روش میانگین وزنی برای هر خندق یک نمونه وزنی در نظر گرفته شد، به طوری‌که تعداد داده‌های هر متغیر در

فرسایش خندقی به ۱۶ و تعداد کل نمونه‌ها و یا تعداد داده‌های هر متغیر در انواع فرسایش به ۴۱ مورد و معادل تعداد کل آزمایش‌های باران‌ساز رسید. علاوه بر این، امتیاز فاکتورهای هفتگانه عامل سطحی خاک طبق جدول B.L.M [۴]، شبیه محل نمونه‌برداری‌ها و موقعیت جغرافیایی آن‌ها یاداشت گردید. همزمان با نمونه‌برداری، با دستگاه باران‌ساز مصنوعی (شکل ۲) در ۱۴ نقطه مذکور آزمایش باران مصنوعی در مجاورت نقاط نمونه‌برداری (در خندق‌ها در مجاورت هدکت) انجام و ۱۴ نمونه رواناب و رسوب تهیه و در آزمایشگاه مقدار وزن رسوب (تلفات خاک)، وزن رواناب و وزن آب نفوذ یافته در مارن‌های منطقه، محاسبه و تعیین گردید. برای رسیدن به نتایج مطلوب‌تر، آزمایش‌ها در پلات‌های بایر و در شرایط نزدیک به ظرفیت مزرعه‌ای انجام شد. از آنجا که شرایط آب و هوایی و ارتفاعی استان همدان و فصل انجام عملیات صحرایی و در نتیجه فشار هوا، مقاومت از شرایط آزمون اولیه دستگاه است، با کمک کرونومتر و به ازای درجه‌های مختلف استوانه مدرج، دستگاه باران‌ساز به دو روش بررسی و واسنجی شد و از داده‌های بدست آمده و رسم نمودارهای خطی، لگاریتمی، چندجمله‌ای و غیره مقدار مناسب خط نشانه معادل ۱/۷۱ درجه روی استوانه مدرج بدست آمد و از این عدد برای انجام آزمایش‌ها در صحراء استفاده شد.



شکل ۲. تصویر دستگاه باران‌ساز کوچک و اجزای تشکیل دهنده آن

#### ب. آنالیز آزمایشگاهی

نمونه‌های اخذ شده به آزمایشگاه‌های دانشگاه بوعلی سینا (برای تهیه مقاطع نازک)، مرکز تحقیقات کشاورزی و منابع طبیعی همدان (برای تعیین مقدار متغیرهای شیمیایی) و پژوهشکده حفاظت خاک و آبخیزداری کشور (برای تعیین مقدار متغیرهای فیزیکی) ارسال شد، مقدار متغیرهای شیمیایی و فیزیکی مورد نظر تعیین گردید و سپس مقادیر نسبت رس (حاصل تقسیم مجموع درصدهای سیلت و ماسه بر درصد رس)، شاخص خمیری، اکتیویته (نسبت شاخص خمیری به درصد ذرات رس) و اکتیویته اصلاح شده با استفاده از روش‌های معمول در منابع [۷] محاسبه گردید. چنان‌که قبلاً بیان شد، تعداد ۱۴ نمونه آب و رسوب از آزمایش‌ها باران مصنوعی اخذ و به آزمایشگاه حمل گردید. در آزمایشگاه این نمونه‌ها به مدت حدود یک ماه بدون حرکت باقی گذاشته شدند. طی

این مدت همه مواد کلوئیدی معلق موجود در نمونه‌ها رسوب نمود و محتویات نمونه‌ها به دو قسمت زلال فوقانی (رواناب) و تیره تحتانی (رسوب) جدا گردید. وزن نمونه‌ها با ترازوی دقیق با دقیق با  $0/01$  گرم انداز مگیری گردید، آن‌گاه به آرامی آب نمونه‌ها خالی شد. این عمل طوری انجام گردید که هیچ ذره‌ای از رسوب موجود در ته ظرف خارج نشود. سپس ظرف حاوی رسوب و مقدار اندک آب موجود در آن، در داخل آون تحت حرارت  $80$  درجه به مدت  $48$  ساعت قرار گرفت که پس از خشک شدن، وزن رسوب خشک شده به همراه ظرف انداز مگیری گردید و سپس رسوب موجود در ظروف تخالیه و ظروف شسته و خشک شدن و وزن آن‌ها انداز مگیری گردید. در نهایت وزن ظروف خالی، وزن رسوب، وزن رواناب، وزن آب نفوذ یافته با توجه به روابط ذیل تعیین شد:

$$\begin{aligned} \text{وزن ظرف} - \text{وزن رسوب خشک شده با ظرف} &= \text{وزن تلفات خاک} = \text{وزن رسوب(خشک)} \\ \text{وزن رسوب خشک شده با ظرف} - \text{وزن کل نمونه} &= \text{وزن رواناب} \\ \text{وزن رواناب} - \text{وزن آب تخالیه شده از آب پاش بارانسان} &= \text{وزن آب نفوذ یافته در خاک} \end{aligned}$$

#### ج- تجزیه و تحلیل

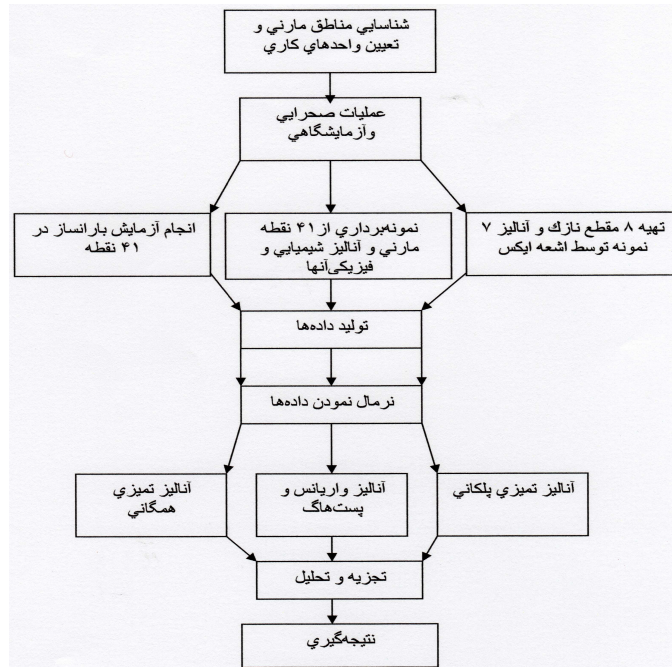
ابتدا همه داده‌ها با استفاده از دستورالعمل آنالیز اکتشافی و بهمکم آمارهای کولموگروف-اسمیرنوف، شاپیرو-ویلک [۲] بررسی شد و متغیرهای غیرنرمال شناسایی و بالگاریتم‌گیری نرمال گردیدند و مقادیر پرت آن‌ها کنار گذاشته شد و در نهایت داده‌های  $23$  متغیر فیزیکی (جدول ۱) و  $16$  متغیر شیمیایی (جدول ۲) برای بررسی‌های آماری آمده گردید. لازم به توضیح است که تعاریف متغیرهای فیزیکی در منابع [طاحونی،  $1371$  و رفاهی  $1387$ ] ارائه شده و برای دخالت متغیر بافت در آنالیز آماری، انواع بافت را در پنج دسته قرارداده و به عنوان متغیرهای مجازی و هر کدام با دو سطح صفر و یک استفاده شدند. برای شناسایی متغیرهایی که در تفکیک شکل فرسایش و پیش‌بینی تعلق اعضا به اشکال فرسایش مؤثرند، آزمون‌های مقاوم و تحلیل واریانس [۵] و آنالیز تکیکی (تمیزی) انجام گردید. در آزمون تحلیل واریانس در مواردی که بین مقادیر میانگین متغیرها تفاوت معنی‌داری مشاهده گردید، آنالیز مقایسه دوگانه پست هاک نیز انجام گرفت. آنالیز تفکیکی به دو روش پلکانی و همگانی (دخالت همه متغیرها) یک بار برای متغیرهای شیمیایی، بار دوم برای متغیرهای فیزیکی و بار سوم برای تمام متغیرهای فیزیکو-شیمیایی انجام گردید. در شکل  $3$  مراحل انجام این پژوهش ارائه گردیده است.

جدول ۱. متغیرهای فیزیکی استفاده شده در آنالیز‌های آماری

متغیرهایی که به صورت طبیعی نرمال بوده‌اند	متغیرهایی که به صورت طبیعی نرمال بوده‌اند
نام متغیر	نام متغیر
نام متغیر	نام متغیر
فناکتور پوشش لاشبرگ	عامل سطحی خاک
درصد شیب توپوگرافی	فناکتور حرکات توده‌ای خاک
درصد ماسه	حد روانی
وزن رواناب	حد خمیری
وزن آب نفوذ یافته	درصد رس
نسبت لگاریتم وزن رسوب به وزن رسوب	درصد سیلت
	بافت
	-

جدول ۲. متغیرهای شیمیایی استفاده شده در آنالیزهای آماری

متغیرهایی که به صورت طبیعی نرمال شده اند	متغیرهایی که به صورت طبیعی نرمال بوده اند
نام متغیر	نام متغیر
نسبت جذب سدیم	یون سولفات
مجموع آنیون ها	مجموع کاتیون ها
یون کلر	یون کلسیم
یون سدیم	درصد کربن آلی



شکل ۳. مراحل انجام پژوهش

## نتایج و بحث

در بررسی های صحرایی، مارن های منطقه اغلب به صورت تپه ماهور هایی با توپوگرافی ملایم و بمنگ سبز زیتونی و گاهی اوقات با رنگ خاکستری و یا روشن با لکه های سفید رنگ مشاهده می شوند. همراه مارن های منطقه، میان لایه های نازکی از ماسه سنگ و سیلتستون با ضخامت کمتر از یک متر و لایه های ضخیم آهکی در برخی از نقاط مشاهده می شود. لکه های آهکی در مقاطع میکروسکوپی، حاوی خرد های بیوکلاستیکی مانند جلبک های لیتو تامینیوم و لیتو فیلوم، بریوزوا، قطعات اکینو درم و فورامینیفر هایی چون نومولیتس و آلوئولینا هستند. مارن ها در مقاطع میکروسکوپی با دو بخش تیره رسی و شفاف کربناتی مشاهده می شوند که کربنات کلسیم در برخی از نقاط تبلور ثانویه پیدا کرده و به صورت اسپارایت در آمده است. همچنین آثاری از هیدرو اکسیدهای آهن در بخش هایی از این مقاطع مشاهده می شود. در بررسی مارن های منطقه با اشعه ایکس کانی های کواتز، کلسیت، الیت، آکالای فلدسپات، رس های چند لایه ای، میکا، ایلیت، کانی های حجیم، مونت

موریلوئیت، کلینوکلر، دولومیت و ژپس مشاهده می شود (جدول ۳). مارن های منطقه در برخی از نقاط حساسیت شدیدی نسبت به فرسایش نشان داده و آثار هر سه نوع فرسایش ورقه ای، شیاری و خندقی بر روی آن ها به وجود آمده است. فرسایش شیاری بیشتر در شبیه های نسبتاً تند دیده می شود، در صورتی که بیشتر خندق ها در مناطق با شبیب کمتر مرکز گردیده اند. فرسایش ورقه ای نیز در اغلب شبیب ها مشاهده می شوند در شکل ۴ تصاویر فرسایش سه گانه فوق الذکر بر روی مارن های منطقه ارائه شده است.

جدول ۳. کانی های موجود در مارن های منطقه بر اساس آنالیز هفت نمونه با اشعه ایکس

نمونه	کانی سلینیس	کانی کربناتی	کانی های رسی و ورقه ای	کانی های فلذسپاتی	کانی های حجیم	سایر کانی ها
AF <sub>1-3</sub>	کوارتز	کلسیت و دولومیت (اندک)	ابلیت و میکا Mixed layer clay	آلبیت آلکالی فلذسپات	دارد	کلینوکلر
AF <sub>1-8</sub>	کوارتز	کلسیت و دولومیت (اندک)	میکا-ابلیت Mixed layer clays	آلبیت آلکالی فلذسپات	دارد	کلینوکلر
AF <sub>1-12</sub>	کوارتز	کلسیت و دولومیت	میکا-ابلیت	آلبیت آلکالی فلذسپات	دارد	کلینوکلر
AF <sub>2-2</sub>	کوارتز	کلسیت و دولومیت	میکا-ابلیت	آلبیت آلکالی فلذسپات	دارد	کلینوکلر
AF <sub>3-1</sub>	کوارتز	کلسیت و دولومیت	میکا-ابلیت Mixed layer clays	آلبیت آلکالی فلذسپات	دارد	کلینوکلر
AF <sub>3-8</sub>	کوارتز	کلسیت و دولومیت	میکا-ابلیت	آلبیت آلکالی فلذسپات	دارد	کلینوکلر
AF <sub>3-9</sub>	کوارتز	کلسیت و دولومیت	مونت موریلوئیت میکا-ابلیت Mixed layer clays	آلبیت آلکالی فلذسپات	ندارد	کلینوکلر



a



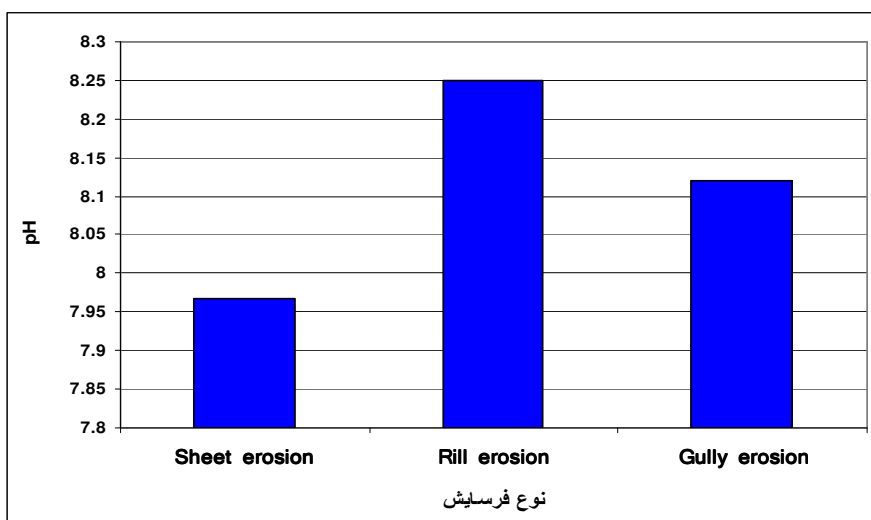
b



c

شکل ۴. تصاویر انواع فرسایش بر روی مارن های منطقه (a: شیاری، b: ورقه ای، c: خندقی)

بررسی داده های حاصل از این پژوهش با آنالیز واریانس که نتایج آن در جدول ۴ ارائه شده است، نشان می دهد که از بین تمامی متغیرها، تنها میانگین pH برای سه نوع فرسایش تفاوت معنی داری را نشان می دهد و مقایسه میانگین دوبعدی آن ها با آزمون پست هاگ نشان می دهد که تفاوت معنی دار تنها بین فرسایش ورقه ای و فرسایش شیاری وجود دارد و همه روش های پست هاگ این تفاوت را تأیید می کنند. اگر چه تفاوت معنی داری در میانگین وزن مخصوص حقیقی در سه نوع شکل فرسایش ذکر شده با آزمون مقاوم [۲]، تشخیص داده می شود، با آزمون پست هاگ، تفاوت معنی دار در میانگین این پارامتر، فقط با روش LSD تأیید می گردد و در سایر روش های پست هاگ ملاحظه نمی شود. بنا بر این به نظر می رسد تنها متغیری که با نوع فرسایش ارتباط مؤثری دارد، همان متغیر pH است. در شکل ۵ نمودار میانگین این متغیر در سه تیپ فرسایشی منطقه ارائه گردیده است.



شکل ۵. میانگین اسیدیته خاک های مارنی منطقه در سه شکل فرسایش ورقه ای، شیاری و خندقی

مشاهدات یا رکوردهای اندازه گیری شده، در سه گروه فرسایشی ورقه ای، شیاری و خندقی (۱۷ مورد در نوع ورقه ای، ۸ مورد در نوع شیاری و ۱۶ مورد در نوع خندقی) به عنوان نتیجه آنالیزی خوشباهی دستی یا صحرایی قرار گرفتند و آنالیز تفکیکی به دو روش پلکانی و همگانی بر روی آن ها انجام گردید. در روش پلکانی برای متغیر های شیمیایی، فیزیکی و متغیر های فیزیکو - شیمیایی مشخص گردید که تنها متغیر pH می تواند به طور معنی دار در پیش بینی تعلق اعضا به نوع فرسایش مؤثر واقع شود و سایر متغیر های نقش مؤثر و معنی داری ایفا نمی کنند. لذا اسیدیته تنها ویژگی خاک های مارنی منطقه است که می تواند تا حدودی در تفکیک و تمایز اشکال

جدول ۴. نتایج آزمون برابری متغیرهای فیزیکی و شیمیایی برای انواع فرسایش در مارن های منطقه

آزمون مقاوم	Welch	Brown - Forsythe	آماره F (ANOVA)	آماره لورون (هئگن) واریانس	متانگین	انحراف معیار			ضریب تغییرات			متغیرهای فیزیکی و شیمیایی
						فنتزی	فیلتر	ورقهای	فنتزی	شلیل	ورقهای	
۰/۲۶	۰/۳۲	۰/۳۵۶	۰/۳۶۰	۳۴/۰۴	۲۹/۷۶	۳۳/۴۵	۶/۲	۵/۸	۸/۲	۰/۱۸	۰/۲	۰/۲۵ درصد مواد خشکی
۰/۰۵	۰/۰۴	۰/۰۲	۰/۴۲	۸/۱۲	۸/۲۵	۷/۹۷	۰/۲	۰/۳	۰/۲	۰/۰۳	۰/۰۴	۰/۰۳ شونده
۰/۰۳	۰/۷۹	۰/۷۶	۰/۳۲	۳۲/۱۵	۳۰/۲۳	۳۲/۱۸	۶/۸	۸/۴	۵/۳	۰/۲۱	۰/۲۸	۰/۱۷ ظرفیت تبادل کاتیونی
۰/۱۱	۰/۱۶	۰/۱۹	۰/۳۹	۴۰/۶۲	۴۷/۷۵	۴۱/۱۵	۹/۸	۷/۱	۹/۷	۰/۲۴	۰/۱۵	۰/۲۳ درصد رس
۰/۰۲	۰/۴۵	۰/۴۹	۰/۱۹	۳۹/۰۴	۴۹/۲۵	۴۹/۰۹	۸/۱	۴/۸	۵/۵	۰/۱۷	۰/۱	۰/۱۲ درصد سیلت
۰/۰۲	۰/۰۳	۰/۰۶	۰/۰۴	۲/۶۱	۲/۶۱	۲/۵۸	۰/۰۴	۰/۰۱	۰/۰۴	۰/۰۲	۰/۰۱	۰/۰۲ وزن مخصوص
۰/۰۲	۰/۵۶	۰/۵۴	۰/۵۴	۳۳/۰۷	۳۳/۴۷	۳۱/۱۸	۶/۷	۶/۰۳	۴/۷	۰/۲	۰/۱۸	۰/۱۵ حروانی
۰/۰۰	۰/۲۴	۰/۷۷	۰/۷۴	۱۸/۵۷	۲۰/۰۵	۱۸/۱۶	۲۰/۳	۱/۸	۲/۴	۰/۱۱	۰/۱	۰/۱۳ حد خبری
۰/۰۷۸	۰/۷۸	۰/۷۹	۰/۲۹	۷/۶۹	۶/۸۶	۷/۰۰	۶/۰	۳/۱	۳/۷	۰/۷۸	۰/۰۴۵	۰/۰۳ فاکتور فرم آبراهه
۰/۰۴۴	۰/۵۰	۰/۴۷	۰/۳۳	۱۴/۵۰	۱۳/۴۳	۱۲/۲۲	۵/۵	۵/۳	۳/۸	۰/۰۳۸	۰/۰۳۹	۰/۰۳۱ نشانه خمیری
۰/۰۲۷	۰/۲۰	۰/۱۶	۰/۱۵	۰/۳۵	۰/۲۸	۰/۱۰	۰/۱۲	۰/۱۱	۰/۰۷	۰/۰۳۴	۰/۰۳۹	۰/۰۲۳ فعالیت (تثابیل تورم)
۰/۰۰	۰/۱۳	۰/۱۰	۰/۱۶	۰/۴۶	۰/۳۴	۰/۱۹	۰/۱۶	۰/۱۴	۰/۰۹	۰/۰۳۵	۰/۰۴۱	۰/۰۲۳ قابلیت اصلاح شده
۰/۰۳	۰/۰۷	۰/۰۴	۰/۱۷	۲/۲۸	۲/۰۷	۲/۲۱	۰/۰۷	۰/۰۹	۰/۰۸	۰/۰۱۶	۰/۰۱۴	۰/۰۱۷ نسبت رس
۰/۰۰	۰/۸۸	۰/۰۵	۰/۰۸	۳/۱۰	۱/۱۰	۳/۰۹	۰/۰۵	۰/۰۹	۰/۰۷	۰/۰۲	۰/۰۱۸	۰/۰۲ لگاریتم وزن رواناب
۰/۰۸	۰/۶	۰/۵۴	۰/۰۶	۲/۶۴	۲/۵۸	۲/۶۵	۰/۱۳	۰/۰۰	۰/۰۱۵	۰/۰۰۵	۰/۰۰۸	۰/۰۶ باقته
۰/۰۱۷	۰/۱۴	۰/۰۲	۰/۰۷۰	۰/۰۴۹	۰/۰۱۴	۰/۰۸۷	۰/۰۷۳	۰/۰۷۴	۱/۰۲۴	۱/۰۴۹	۵/۲۹	۰/۰۲۶ سیلیم
۰/۰۲۶	۰/۲۳	۰/۰۲۲	۰/۰۲۴	۱/۶۳	۱/۳۵	۱/۲۰	۰/۰۸۰	۰/۰۶۹	۰/۰۵۷	۰/۰۳۹	۰/۰۵۱	۰/۰۳۹ لگاریتم مجموع انیون ها
۰/۰۳۸	۰/۳۶	۰/۰۳۶	۰/۱۴	۱/۱۱	۰/۹۳	۰/۰۷۳	۰/۰۹۱	۰/۰۷۲	۰/۰۵۸	۰/۰۸۲	۰/۰۷۷	۰/۰۷۹ لگاریتم یون کلر
۰/۰۱۸	۰/۱۷	۰/۰۹	۰/۸	۰/۷۱	۰/۰۵۵	۰/۰۵۹	۰/۰۲۲	۰/۰۲۰	۰/۰۲۵	۰/۰۳۱	۰/۰۳۶	۰/۰۴۲ لگاریتم یون بی کربنات
۰/۰۲۵	۰/۰۲۳	۰/۰۲۲	۰/۰۲۹	۱/۶۲	۱/۳۳	۱/۱۹	۰/۰۸۰	۰/۰۷۱	۰/۰۵۸	۰/۰۴۹	۰/۰۵۳	۰/۰۴۹ لگاریتم مجموع کاتیون ها
۰/۰۱۹	۰/۱۶	۰/۱۷	۰/۳۲	۱/۱۵	۰/۰۸۶	۰/۰۴۹	۱/۱۱	۰/۰۹۱	۰/۰۸۸	۰/۰۹۷	۱/۰۶	۱/۰۸ لگاریتم یون سیلیم
۰/۰۵۴	۰/۵۱	۰/۵۰	۰/۰۴۶	۱/۰۵	۰/۰۸۴	۰/۰۹۰	۰/۰۴۹	۰/۰۴۸	۰/۰۴۴	۰/۰۴۷	۰/۰۴۹	۰/۰۴۹ لگاریتم یون کلسیم
۰/۰۲۸	۰/۰۲۱	۰/۰۲۰	۰/۰۱۶	-۰/۰۵۰	-۰/۰۴۵	-۰/۰۴۳	۰/۰۲۲	۰/۰۳۰	۰/۰۳۱	-۰/۰۴۴	-۰/۰۷۲	۰/۰۰ لگاریتم درصد کربن الی
۰/۰۳۵	۰/۰۳۳	۰/۰۳۲	۰/۰۲۳	۰/۰۵۱	۰/۰۲۹	۰/۰۱۳	۰/۰۸۲	۰/۰۷۰	۰/۰۵۹	۱/۰۶۱	۲/۰۴۱	۴/۰۴ لگاریتم هدایت الکتریکی
۰/۰۶۹	۰/۰۸۴	۰/۰۸۸	۰/۱۷	-۰/۰۰۵	-۰/۰۱۶	-۰/۰۰۴	۰/۰۴۱	۰/۰۲۶	۰/۰۷۷	-۸/۰۲	-۱۹/۰۲۵	-۱۹/۰۲۵ لگاریتم مقدار زیپس
۰/۰۶۲	۰/۰۶۲	۰/۰۴۲	۰/۰۴۳	۰/۰۵۲	۰/۰۳۷	۰/۰۵۱	۰/۰۳۹	۰/۰۳۵	۰/۰۳۲	۰/۰۷۵	۰/۰۹۵	۰/۰۶۵ لگاریتم فاکتور ظعفات تحکیم باقته
۰/۰۵۴	۰/۰۴۷	۰/۰۴۳	۰/۰۶۰	۰/۰۷۶	۰/۰۵۵	۰/۰۷۲	۰/۰۴۰	۰/۰۴۴	۰/۰۳۲	۰/۰۵۳	۰/۰۸	۰/۰۴ لگاریتم فاکتور پوشش خرده سنگی
۰/۰۵۳	۰/۰۴۵	۰/۰۳۹	۰/۶	۰/۰۸۸	۰/۰۹۶	۰/۰۸۸	۰/۰۱۳	۰/۰۱۶	۰/۰۱۱	۰/۰۱۵	۰/۰۱۷	۰/۰۱۳ لگاریتم فاکتور پوشش لاشریگ
۰/۰۹۱	۰/۹۰	۰/۹۱	۰/۰۹۹	۰/۰۹۴	۰/۰۹۲	۰/۰۹۰	۰/۰۲۰	۰/۰۲۲	۰/۰۲۸	۰/۰۲۱	۰/۰۲۴	۰/۰۳۱ لگاریتم فاکتور حرکات توده ای خاک
۰/۰۴۷	۰/۰۴۷	۰/۰۴۸	۰/۰۹۹	۰/۰۸۸	۱/۱۲	۰/۰۸۶	۰/۰۴۹	۰/۰۵۰	۰/۰۵۸	۰/۰۵۶	۰/۰۴۴	۰/۰۶۷ لگاریتم درصد شبیه توپوگرافی
۰/۰۶۴	۰/۰۶	۰/۰۶۸	۰/۰۸۲	۰/۰۵۰	۰/۰۰۴	۰/۰۰۵	۰/۰۰۳	۰/۰۰۲	۰/۰۰۲	۰/۰۰۶	۰/۰۵ به وزن رسوب	۰/۰۰ لگاریتم وزن رسوب
۰/۰۴۹	۰/۶۱	۰/۶۹	۰/۰۲	۳/۹۴	۴/۱۳	۳/۷۱	۱/۱۸	۰/۰۳۵	۱/۰۴۰	۰/۰۳	۰/۰۰۸	۰/۰۳۸ بافت
۰/۱۱	۰/۰۸	۰/۰۹	۰/۰۷۵	۰/۰۸۱	۰/۰۴۴	۰/۰۲۴	۰/۰۷۶	۰/۰۶۷	۰/۰۶۲	۰/۰۹۴	۰/۱۵۲	۰/۰۵۸ لگاریتم یون منزیم
۰/۰۲۱	۰/۱۶	۰/۱۹	۰/۰۲۸	۲/۹۶	۳/۱۱	۱/۵۲	۲/۳۳	۱/۰۷	۲/۲۲	۰/۰۷۹	۰/۰۵۵	۰/۱۴۶ لگاریتم طبیعی سولفات
۰/۰۸	۰/۱۹	۰/۰۶	۰/۰۷۷	۰/۰۹۹	۰/۰۷۵	۱/۰۶	۰/۰۴۷	۰/۰۹	۰/۰۳۰	۰/۰۷۲	۰/۰۲۵	۰/۰۲۸ لگاریتم درصد ماسه

فرسایش نقش مؤثر و معنی دار ایفا کند و این همان نتیجه ای است که قبل از آنالیز واریانس (ANOVA) حاصل گردید. بنا بر این در مدل پلکانی تنها یک معادله تفکیکی- کاتونیک وجود دارد که می تواند در تفکیک اشکال فرسایش نقش داشته باشد. در جدول ۵ مشخصات این تابع به همراه ضرایب توابع پیش بینی کننده فیشر برای متغیر مذکور ارائه گردیده است. مقادیر مرکزیت گروه های فرسایشی در این جدول نشان می دهد که تفاوت چشمگیری بین مرکزیت مشاهدات ورقه ای و شیاری وجود دارد، یعنی این دو گروه به راحتی از هم تفکیک

می‌شوند، ولی تفاوت بین مرکزیت مشاهدات ورقه‌ای و شیاری با خندقی چندان زیاد نیست و این دو گروه، بهخوبی از هم تفکیک نمی‌گردد و این همان نتیجه‌ای است که قبلاً با تقابل دوبعدی گروه‌های فرسایشی بهروش آزمون پست‌هاگ بدست آمد. مقدار ارزش ویژه تابع تفکیکی فوق‌الذکر، انک و حدود ۰/۲۲۵ است و نشان می‌دهد که هر چند میانگین متغیر pH بهطور معنی‌داری در سه گروه فرسایشی مقاوم است ولی بدلیل آنکه این تفاوت فقط بین فرسایش شیاری و ورقه‌ای وجود دارد لذا در سایر مقایسه‌ها معنی‌دار نیست. نتایج حساسیت مدل پلکانی در تفکیک اشکال فرسایشی در جدول ۶ ارائه شده است. بر اساس داده‌های این جدول، میزان حساسیت توابع فیشر در پیش‌بینی تعلق اعضا به سطوح فرسایشی حدود ۵۳/۷ درصد و دقت صحت پیش‌بینی آن برابر با ۰/۲۵ است که دقت مناسبی تلقی نمی‌شود.

در روش همگانی با توجه به اینکه متغیر اسمی دارای سه سطح است، حداقل دو تابع کانونیک معنی‌دار برای جدایش اشکال فرسایش وجود دارد. مشخصات این دو تابع برای همه متغیرهای فیزیکو-شیمیایی در جدول ۷ ارائه شده است. بررسی این جدول نشان می‌دهد که تابع کانونیک<sup>۱</sup> بهراحتی مشاهدات شیاری را از سایر گروه‌ها بهخصوص از گروه ورقه‌ای، متمایز می‌کند. تابع ۲ نیز مشاهدات خندقی را از سایر گروه‌ها بهخصوص گروه شیاری تفکیک می‌کند. در شکل ۶ وضعیت تفکیکی گروه‌های فرسایشی با این دو تابع تفکیک‌کننده، نشان داده شده است. در جدول ۸ ضرایب توابع فیشر برای اشکال فرسایشی بر مبنای متغیرهای فیزیکو-شیمیایی ارائه شده است که با این توابع و اندازه‌گیری متغیرهای فیزیکو-شیمیایی ذکر شده در جدول مذکور، می‌توان نوع فرسایش را برای هر مشاهده پیش‌بینی کرد. بررسی میزان حساسیت مدل همگانی با استفاده از همه متغیرهای فیزیکو-شیمیایی در جدول ۶، نشان می‌دهد که مدل دارای حساسیتی برابر با ۷۸ درصد و دقتی معادل با ۶۵ درصد است.

در جدول ۹ مشخصات توابع تفکیکی مدل همگانی برای متغیرهای شیمیایی ارائه شده است. مقادیر مرکزیت توابع نشان می‌دهد که گروه‌های فرسایشی بهخوبی با این توابع از هم تفکیک می‌شود. شکل ۷ نتیجه این تفکیک برای سه شکل فرسایش ورقه‌ای، شیاری و خندقی را نشان می‌دهد. در جدول ۱۰ ضرایب توابع فیشر برای پیش‌بینی تعلق اعضا به اشکال فرسایشی ارائه شده است که با داشتن مشخصات شیمیایی یک نمونه مارن از منطقه می‌توان نوع فرسایش آن را پیش‌بینی نمود. نتایج حساسیت مدل همگانی برای متغیرهای شیمیایی با استفاده از توابع فیشر در جدول ۶ ارائه شده است. داده‌های این جدول نشان می‌دهد که از ۴۱ مشاهده، حدود ۳۱ مورد یعنی ۷۵/۶ درصد از مشاهدات بهطور صحیح پیش‌بینی می‌گردد و دقت درستی این مدل معادل با ۶۱/۲ درصد است. در جدول ۱۱ مشخصات توابع تفکیکی مدل همگانی برای متغیرهای فیزیکی ارائه گردیده است. مقادیر مرکزیت این توابع نشان می‌دهد که گروه فرسایشی شیاری بهراحتی با تابع ۱ از سایر گروه‌ها تفکیک می‌گردد و با تابع ۲ نیز گروه‌های فرسایشی خندقی و ورقه‌ای از هم متمایز می‌گردد بنا بر این با متغیرهای فیزیکی

بهره ای می توان انواع فرسایش را از هم تفکیک کرد. در شکل ۸ نتیجه این تفکیک به کمک متغیر های فیزیکی ارائه شده است. در جدول ۱۲ ضرایب توابع فیشر برای پیش بینی تعلق مشاهدات به اشکال فرسایشی ارائه شده است، که نتایج حساسیت آنها در پیشگویی شکل فرسایش برای یک نمونه در جدول ۶ ارائه شده است. داده های این جدول نشان می دهد که از هر ۴۱ مشاهده، حدود ۳۴ مورد آن یعنی ۸۲/۹ درصد به درستی پیش بینی می گردد و حدود ۷ مورد یعنی ۱۷/۱ درصد از مشاهدات به درستی پیش بینی نمی گردد. دقت صحت مدل همگانی برای متغیر های فیزیکی معادل ۷۳/۷ درصد است که نسبتاً قابل قبول نلقی می گردد.

جدول ۵. مشخصات تابع تفکیکی و ضرایب توابع فیشر برای گروه های فرسایشی بر مبنای متغیر pH

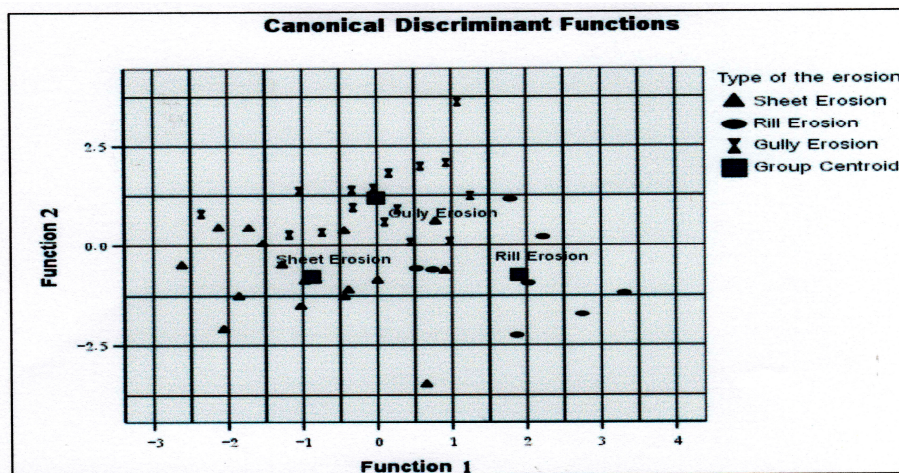
نوع فرسایش	مرکزیت گروه ها در تابع تفکیک	ضرایب توابع خطی فیشر برای سه نوع فرسایش		مشخصات تابع تفکیکی کاتونیک						
		ضرایب متغیر pH	ثابت تابع	تابع غیر استاندارد	تابع استاندارد	همبستگی با متغیر	ارزش ویژه	درصد واریانس	همبستگی کاتونی	
ورقه ای	-۰/۴۸۸	۱۴۵/۱۳	-۵۷۸/۵۴۳	$F=4.266pH^{34.478}$	$pH$	۱	۰/۲۲۵	۱۰۰	۰/۴۲۸	
شیاری	۰/۷۱۴	۱۵۰/۱۴۰	-۶۲۰/۸۶۸							
خندقی	۰/۱۶۲	۱۴۷/۷۸۵	-۶۰۰/۹۰۳							

جدول ۶. حساسیت آنالیز تفکیکی بهدو روشن پلکانی و همگانی برای پیش بینی تعلق مشاهدات به گروه های فرسایشی

متغیر های فیزیکی و شیمیایی پیش بینی تعلق	نتایج دسته بندی اندوخته فرسایش بر اساس مشاهدات صحرابی			نتایج حاصل از آنالیز تمیزی بر اساس روش پلکانی			نتایج آنالیز تمیزی بر اساس ورود همه متغیر های مستقل (همگانی)		
	نوع فرسایش	تعداد مشاهدات	احتمال اولیه	تعداد مشاهدات درست پیش بینی شده	تعداد مشاهدات درست پیش بینی نشده	درصد حساسیت در پیش بینی صحیح	تعداد مشاهدات درست پیش بینی شده	تعداد مشاهدات درست پیش بینی نشده	درصد حساسیت در پیش بینی صحیح
ورقه ای	۱۷	۰/۴۱۵	۱۰	۷	۵۸/۸	۱۴	۳	۸۲/۴	
شیاری	۸	۰/۱۹۵	۳	۵	۳۷/۵	۵	۳	۶۲/۵	
خندقی	۱۶	۰/۳۹۰	۹	۷	۵۶/۳	۱۳	۳	۸۱/۳	
کل	۴۱	۱/۰۰۰	۲۲	۱۹	۵۳/۷	۳۲	۹	۷۸	
دقت کاپا	-			$\approx ۰/۲۵۰$			$\approx ۰/۶۵$		
فقط متغیر های شیمیایی	ورقه ای	۱۷	۰/۴۱۵	۱۰	۷	۵۸/۸	۱۲	۵	۷۰/۶
	شیاری	۸	۰/۱۹۵	۳	۵	۳۷/۸	۵	۳	۶۲/۵
	خندقی	۱۶	۰/۳۹۰	۹	۷	۵۶/۳	۱۴	۲	۸۷/۵
	کل	۴۱	۱/۰	۲۲	۱۹	۵۳/۷	۳۱	۱۰	۷۵/۶
	دقت کاپا	-		$\approx ۰/۲۵۰$			$\approx ۰/۶۱۲$		
فقط متغیر های فیزیکی	ورقه ای	۱۷	۰/۴۱۵	هیچ یک از متغیر های فیزیکی دارای اختلاف معنی داری در سه نوع فرسایش نبوده است.			۱۳	۴	۷۲/۵
	شیاری	۸	۰/۱۹۵				۸	۰	۱۰۰
	خندقی	۱۶	۰/۳۹۰				۱۳	۳	۸۱/۳
	کل	۴۱	۱/۰				۳۴	۷	۸۲/۹
	دقت کاپا	-		سطح احتمال			$\approx ۰/۷۳۷$		

جدول ۷. مشخصات دوتابع تفکیک کننده بر مبنای متغیرهای فیزیکو-شیمیایی برای سه شکل فرسایشی

نوع فرسایش	مرکزیت گروههای فرسایشی در تابع ۱	مرکزیت گروههای فرسایشی در تابع ۲	مقادیر پارامترهای ارزش تفکیکی توابع				
			نوع تابع	ارزش ویژه	درصد واریانس	همیستگی کانونی	ضریب دقت آتا
ورقه ای	-۰/۸۸	-۰/۷	تابع ۱	۱/۱۰۸	۵۳/۲	۰/۷۲۵	۰/۵۲۶
شیاری	۱/۹۰۱	-۰/۷۴		۰/۹۷۶	۴۶/۸	۰/۷۰۳	۰/۴۹۴
خندقی	-۰/۰۱۵	۱/۱۸۹					



شکل ۶. دیاگرام توابع تفکیکی- کانونی برای انواع فرسایش بر مبنای به کار گیری کل متغیرهای فیزیکو-شیمیایی

جدول ۸. ضرایب متغیرهای فیزیکو-شیمیایی در تابع فیشر برای پیش‌بینی تعلق مشاهدات به اشکال فرسایشی

نوع متغیر	فرسایش ورقه ای	فرسایش شیاری	فرسایش خندقی	نوع متغیر	فرسایش ورقه ای	فرسایش شیاری	فرسایش خندقی
درصد مواد خنثی شونده	۱۶/۰۲۶	۱۶/۲۲۶	۱۶/۳۸۴	لگاریتم وزن رواناب	۲۱۷۴۵/۸۴۱	۲۱۷۱۲/۲۹۲	۲۱۷۲۹/۷۵۸
اسیدیتیه	۶۲۱/۷۶۲	۶۳۲/۷۸۲	۶۲۳/۳۳۸	لگاریتم وزن آب نفوذ پاقنه	۸۳۳۹/۱۶۴	۸۳۱۸/۱۳۴	۸۳۳۰/۶۲۱
ظرفیت تبادل کاتیونی	۳۳/۵۹۰	۳۲/۹۳۱	۳۲/۸۶۳	لگاریتم نسبت جذب سدیم	-۴۹۵/۹۶۸	-۴۹۶/۴۶۸	-۴۹۳/۹۵۳
درصد رس	۳۶/۲۰۷	۳۶/۱۹۳	۳۲/۷۸۹	لگاریتم مجموع آتیون ها	۲۴۳۰/۳۸۱	۲۴۴۹/۱۱۱	۲۴۲۷/۳۵۵
درصد سیلت	۱۳/۲۹۳	۱۳/۵۸۲	۱۳/۵۴۹	لگاریتم مقدار بون کار	۲۰/۶/۶۶۰	۲۰/۸/۴۸۸	۲۰/۱/۳۲۲
وزرن مخصوص واقعی	۴۵۵۱/۹۸۶	۴۵۹۴/۴۹۹	۴۶۲۰/۱۱۱	لگاریتم مقدار بون بی کربنات	۳۴۶/۰۰۲	۲۰/۸/۴۸۸	۲۰/۱/۳۲۲
حد روانی	۱۷/۸۰۷	۱۸/۱۶۳	۲۰/۶۴۰	لگاریتم مجموع کاتیون ها	-۲۶۷۰/۸۱۰	-۲۶۹۴/۵۶۴	-۲۶۶۳/۹۴۶
حد خمیری	۱/۱۴۰	۱/۴۵۲	-۱/۷۲۲	لگاریتم مقدار بون سدیم	۳۱۲/۰۳۰	۳۱۳/۸۰۴	۳۱۱/۶۳۲
فاکتور فرم آبراهه	۴۷/۴۰۵	۴۷/۷۸۳	۴۷/۹۵۳	لگاریتم مقدار بون کلسیم	۱۵۷/۵۷۹	۱۶۳/۵۴۷	۱۵۶/۱۹۳
فعالیت	-۲۵۵۰۲/۲۸۶	-۲۵۴۴۷/۰۷۷	-۲۵۷۱۲/۱۹۴	لگاریتم فاکتور حرکات توده ای خاک	۲۲۳/۸۰۴	۲۲۲/۸۳۱	۲۲۲/۹۸۹
فعالیت اصلاح شده	۱۶۹۲۹/۸۴۱	۱۶۸۶۳/۶۶۴	۱۷۰۱۱/۹۴۷	لگاریتم وزن رسوب به وزن رسوب	۲۹۶۶/۶۰۲	۳۰۳۹/۸۲۱	۲۹۸۵/۷۴۵

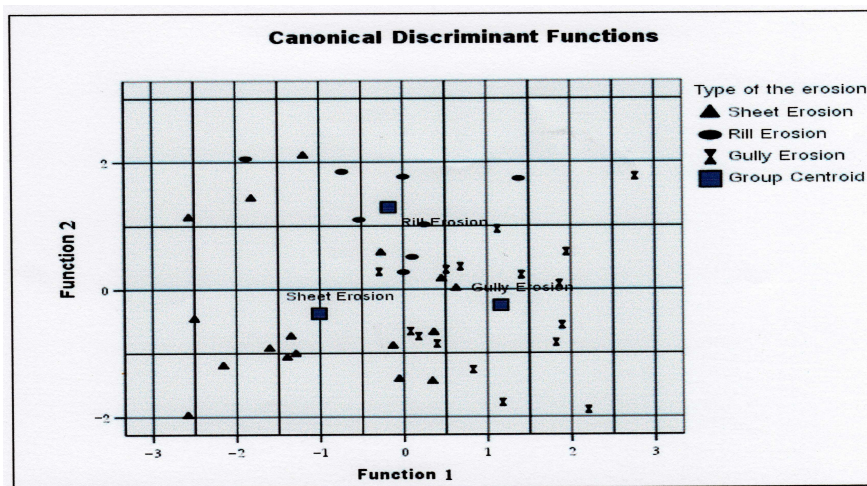
۰.۵۵۵۱۹/۷۷۹ = ضریب ثابت ورقه ای

۰.۵۵۶۰۴/۹۰۸ = ضریب ثابت شیاری

۰.۵۵۶۵۳/۹۲۵ = ضریب ثابت خندقی

جدول ۹. مشخصات دوتابع تفکیک‌کننده بر مبنای متغیرهای شیمیایی برای سه شکل فرسایشی

نوع فرسایش	مرکزیت گروههای فرسایشی در تابع ۱	مرکزیت گروههای فرسایشی در تابع ۲	مقادیر پارامترهای ارزش تفکیکی توابع				
			نوع تابع	ارزش ویژه	درصد واریانس	همیستگی کانونی	ضریب دقت آتا
ورقی	-۱/۰۰۹	-۰/۳۷۳	تابع ۱	۱/۰۲۸	۷۰/۱	۰/۷۱۲	۰/۵۰۷
شیاری	-۰/۱۷۳	۱/۲۹		۰/۴۳۹	۲۹/۹	۰/۵۵۲	۰/۳۰۵
خندقی	۱/۱۵۹	۰/۲۴۹	تابع ۲	۰/۴۳۹	۲۹/۹	۰/۵۵۲	۰/۳۰۵



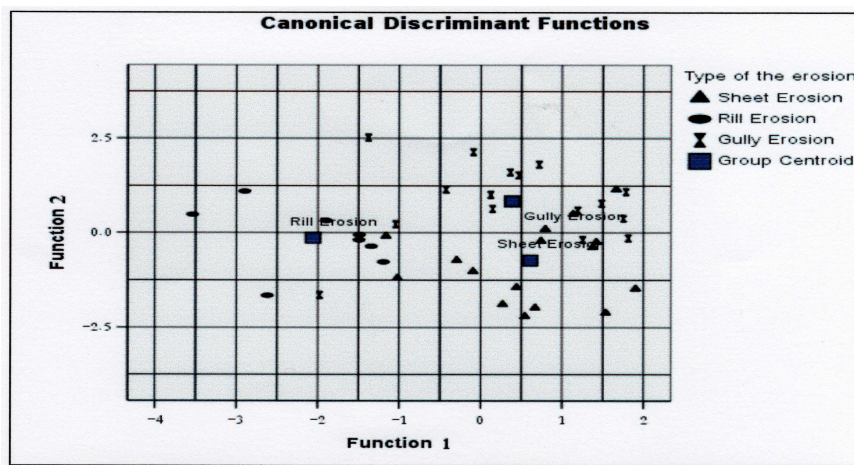
شکل ۷. دیاگرام توابع تفکیکی-کانونی برای انواع فرسایش بر مبنای بکارگیری متغیرهای شیمیایی

جدول ۱۰. ضرایب متغیرهای شیمیایی در توابع فیشر برای پیش‌بینی تعلق مشاهدات به اشکال فرسایشی

نوع فرسایش	نوع متغیر			نوع فرسایش			نوع متغیر
	خندقی	شیاری	ورقه‌ای	خندقی	شیاری	ورقه‌ای	
-۳۵۲/۶۹۴	-۳۹۹/۰۴۹	-۰۷۳/۰۹۷	لگاریتم مجموع کاتیون‌ها	۲/۰۰۸	۲/۲۱۴	۲/۲۱۷	درصد مواد خنثی
۱۰۲/۳۰۲	۱۰۰/۹۴	۹۵/۷۱۶	لگاریتم مقدار سدیم	۳۲۴/۱۳۱	۳۴۸/۲۵۲	۳۴۰/۳۹۸	شورنده
۲۴۸/۴۵۱	۲۵۱/۷۴۷	۲۴۸/۵۵۲	لگاریتم مقدار کلسیم	۴/۸۸۵	۴/۷۹۰	-۴/۷۹۹	اسیدیته
-۴۶/۰۲۴	-۴۳/۵۱۲	-۴۱/۰۸۷	لگاریتم درصد کربن آلی	-۵۹/۰۵۰	-۶۱/۷۷۹	-۵۸/۴۹۹	ظرفیت تبادل یونی
-۶۹/۹۴۹	-۶۸/۶۶۷	-۶۵/۹۳۶	لگاریتم مقدار گچ	۴۱۸/۹۶۳	۴۳۹/۳۱۲	۴۱۲/۹۷۷	لگاریتم
-۱۹۹/۵۲۰	-۱۷۷/۸۱۶	-۱۷۷/۰۷۷	لگاریتم هدایت الکتریکی	-۴۵/۷۷۴	-۴۰/۷۴۹	-۳۸/۰۸۶	لگاریتم مجموع آنیون‌ها
-۱۷۰۹/۱۹۵	-۱۷۰۷/۱۹	-۱۶۳۸/۰۵۷	ضریب ثابت تابع	۸۹/۷۴۰	۸۶/۴۷۲	۸۸/۸۳۰	لگاریتم مقدار کلر
							لگاریتم بیکربنات

جدول ۱۱. مشخصات دوتابع تفکیک‌کننده بر مبنای متغیرهای فیزیکی برای سه شکل فرسایشی

نوع فرسایش	مرکزیت گروههای فرسایشی در تابع ۱	مرکزیت گروههای فرسایشی در تابع ۲	مقادیر پارامترهای ارزش تفکیکی توابع				
			نوع تابع	ارزش ویژه	درصد واریانس	همیستگی کانونی	ضریب دقت آتا
ورقه‌ای	۰/۶۰۶	-۰/۷۲۹	تابع ۱	۱/۱۲۰	۶۷/۴	۰/۷۲۷	۰/۵۲۹
شیاری	-۲/۰۵۹	-۰/۱۳۹		۰/۵۴۲	۳۲/۶	۰/۵۹۳	۰/۳۵۲
خندقی	۰/۳۸۶	۰/۸۴۴					



شکل ۸. دیاگرام توابع تفکیکی- کانونی برای انواع فرسایش بر مبنای به کارگیری متغیرهای فیزیکی

جدول ۲. ضرایب متغیرهای فیزیکی در توابع فیشر برای پیش‌بینی تعلق مشاهدات به گروه‌های فرسایشی

نوع فرسایش خندقی	شیاری	ورقه ای	نوع متغیر	نوع فرسایش خندقی	شیاری	ورقه ای	نوع متغیر
۲۰۳/۸۱۷	۱۹۹/۳۹۸	۲۰۴/۴۰۷	لگاریتم امتیاز قططعات سنگی	۷۳/۸۰۸	۷۴/۰۱۳	۷۴/۰۸۱	درصد رس
-۱۴۲/۳۴۴	-۱۴۳/۳۱۰	-۱۴۴/۶۹۷	لگاریتم امتیاز پوشش خرده سنگی	۲۱/۶۹۲	۲۱/۶۶۲	۲۱/۵۱۲	درصد سلیت
-۱۱۰۲/۶۴۴	-۱۰۸۶/۴۴۸	-۱۱۰۱/۵۶۳	لگاریتم امتیاز پوشش لاشبرگ	۴۰۸۹/۸۹۸	۴۰۹۴/۹۶۸	۴۰۵۵/۵۹۴	وزن مخصوص واقعی
۴۳۴/۹۲۸	۴۲۴/۸۳۵	۴۳۵/۰۷۰	لگاریتم امتیاز حرکت های توده ای	-۱۷۷/۰۰۲	-۱۷۷/۴۳۰	-۱۷۷/۵۶۹	حد روانی
۳۸۸/۳۰۱	۳۹۲/۲۳۶	۳۸۶/۹۹۶	لگاریتم درصد شیب	۲۵۸/۱۹۷	۲۵۸/۹۷۲	۲۵۸/۴۲۸	حد خمیری
۱۱۷۷۷/۱۳۰	۱۱۸۱۷/۲۵۳	۷۲۳/۸۶۲	نسبت لگاریتم وزن رسوب به وزن رسوب	۳۵/۵۷۴	۳۵/۵۶۰	۳۵/۳۱۴	امتیاز ابراهیم
۲۰۸/۸۷۰	۲۰۹/۲۹۸	۲۰۷/۹۹۱	بافت C	۳۱۷۰/۱۹۲	۳۱۲۱/۵۶۱	۳۰۷۱/۵۸۰	اکتوبریته
-۴۴/۰۵	-۴۱/۶۶۵	-۴۵/۵۸۷	C.L	۱۹۰۳/۳۰۲	۱۹۴۶/۷۴۳	۱۹۸۹/۶۲۷	اکتوبریته اصلاح شده
-۲۵۹/۴۵۶	-۲۵۷/۸۹۰	-۲۶۰/۶۹۴	بافت Si.C	۲۵۶۰۶/۲۴۱	۲۵۵۴۹/۲۲۸	۲۵۵۹۰/۶۱۵	لگاریتم وزن رواناب
-۶۰۵۱۴/۳۷۸	-۶۰۴۳۷/۴۸۱	-۶۰۶۸۰/۶۱۰	ضریب ثابت	۹۸۱۶/۸۸۵	۹۷۷۸/۱۲۳	۹۸۱۰/۴۴۶	لگاریتم وزن نفوذ

### نتیجه‌گیری

بررسی میزان املاح موجود در مناطق فرسایشی نشان می‌دهد که مقادیر سولفات، منیزیم و به خصوص مقدار سدیم و در نتیجه نسبت جذب سدیم و  $E_c$  در مناطق دارای فرسایش خطی (شیاری و خندقی) نسبت به مناطق دارای فرسایش سطحی بیشتر است. همین امر موجب افزایش pH در این مناطق و وجود تفاوت معنی‌دار بین مناطق فرسایشی گردیده است. این افزایش pH از سویی سبب اتحلال یون‌های آلومینیم، سیلیس و آهن و در نتیجه

انحلال کانی‌های فیلوسیلیکاته و از سوی دیگر سبب بالا رفتن حد بحرانی انعقاد خاکدانه‌ها شده و موجب بیشتر پخشیده شدن خاکدانه‌ها در مناطق خندقی و شیاری شده است. و در نتیجه اسیدیته به عنوان عاملی نسبتاً مؤثر در تعیین و تفکیک نوع فرسایش در منطقه ظاهر شده است. البته چنان‌که قبلاً بیان گردید این نقش زیاد قوی نیست و در نزدیکی مرز معنی‌داری واقع گردیده است. ارزیابی داده‌های فیزیکو-شیمیابی حاصل از مارن‌های همدان با آنالیز تمیزی بهروش همگانی و معادلات تفکیکی به دست آمده از آن‌ها، نشان می‌دهد که شکل فرسایش در منطقه بیشتر تابع مجموعه‌ای از عوامل و تأثیر آن‌ها برهم است، به طوری که حساسیت توابع فیشر در پیش‌بینی نوع فرسایش که در این بررسی به دست آمده است برای متغیرهای شیمیابی، فیزیکی و فیزیکوشیمیابی بهتر ترتیب معادل با  $75/6$ ،  $82/9$  و  $78$  درصد است و نشان می‌دهد که اولاً نوع فرسایش تابع مجموعه‌ای از پارامترها است و ثانیاً مجموعه متغیرهای فیزیکی بیشتر و بهتر از مجموعه متغیرهای شیمیابی و فیزیکو-شیمیابی در تشکیل و پیش‌بینی نوع فرسایش مؤثرند که شاید دلیل آن این است که هر چند اثر تک تک متغیرها در میزان و نوع فرسایش کاملاً معنی‌دار نیست ولی میزان آن‌ها به اندازه‌ای است که متوسط اثر بخشی آن‌ها بر نوع فرسایش بیشتر از متوسط اثر بخشی کل متغیرهای شیمیابی و بیشتر از متوسط کل متغیرهای فیزیکوشیمیابی است. در این بررسی توابعی بهنام توابع فیشر برای انواع فرسایش در منطقه به دست آمده که بهمک آن‌ها می‌توان نوع فرسایش در مارن یک نقطه از منطقه را بدون مراجعه، با دقت قابل قبول شناسایی و یا پیش‌بینی کرد. فقط کافی است که با آزمایش مقادیر متغیرها مشخص گردد و در معادلات توابع فیشر قرار داده شود. تابعی که بزرگترین مقدار عددی از آن به دست می‌آید نشان دهنده نوع فرسایش غالب و احتمالاً ایجاد شده در محیط است. به عنوان نتیجه‌ای نهایی می‌توان گفت که برای شناسایی عوامل مؤثر در تشکیل نوع فرسایش و ارزیابی حساسیت آن‌ها یا تنظیم معادلات پیش‌گو و کارآمد برای هر نوع مارن، باید مارن‌ها را در مناطق مختلف و گسترده‌سیعی با آنالیز تعداد زیادی نمونه بررسی کرد که روش بررسی بهکار رفته در این تحقیق می‌تواند الگوی مناسبی برای این کار باشد.

## منابع

۱. اسدیان، م. ص.، کانی‌شناسی خاک‌های دشت اسدآباد، مجموعه مقالات نهمین کنگره علوم خاک ایران، تهران، جلد دوم (۱۳۸۴).
۲. افشاری، ع. ر.، نوریان، م. و حسینی رامشه، ز.، فرازی بر SPSS، انتشارات بیشه، (۱۳۸۴) ۳۳۰.
۳. پیروان، ح. و اسدی، ت.، مروری بر نقش عوامل فیزیکو-شیمیابی مؤثر بر اشکال فرسایش در پهنه‌های مارنی، نهمین کنگره علوم خاک ایران، (۱۳۸۴) ۵۶۰ تا ۵۶۲.
۴. رفاهی، ح.، فرسایش آبی و کنترل آن، انتشارات دانشگاه تهران، (۱۳۷۵) ۵۵۱.
۵. زرگر، م.، راهنمای جامع SPSS<sub>13</sub> همراه با تمرین‌های علمی و کاربردی، تهران، انتشارات بهینه، (۱۳۸۴) ۵۵۶.

۶. عباسی، ن و عبدی، پ، بررسی رابطه بین خصوصیات شیمیایی مارن ها با رفتارهای محیطی آن ها (مطالعه موردي حوزه قزل اوزن سفلی در منطقه طارم علیای استان زنجان)، چهارمین همایش زمین شناسی و محیط زیست ایران، ۲-۳ اسفند ۱۳۸۴، تهران دانشگاه تربیت مدرس، ایران، (۱۳۸۴) ۹۰۴ تا ۹۱۱.
۷. طاحونی، ش، اصول مهندسی ژئوتکنیک (جلد اول- مکانیک خاک)، انتشارات مترجم، (۱۳۷۱) ۶۸۶.
۸. قدیمی عروس محله، ف، بررسی رابطه اشکال فرسایش با خصوصیات شیمیایی و فیزیکی مارن ها، فصلنامه پژوهش و سازندگی شماره های ۴۲-۴۱-۴۰، (۱۳۷۷) ۹۵ تا ۹۹.
۹. قدیمی عروس محله، ف، پورمتین، او و قدوسی، ج، بررسی امکان طبقه بندی مارن ها بر اساس خصوصیات فیزیکو شیمیایی در منطقه تفرش، فصلنامه پژوهش و سازندگی، شماره های ۴۲-۴۱-۴۰، (۱۳۷۸) ۳۰ تا ۳۵.
10. G. Bineto, G. Gutierrez, C. Sancho, "Erosion rates in Badland areas of the central Elbro Bassin (NE- Spain)", Catena, 19 (3-4) (1992) 269-286.
11. Z. Bouma, "Investigation of relationships between measured field indicators and erosion processes on badland surface at petrer", Spain, University of Amesterdam (1998).
12. N. A. Bouma, A. C. Imeson, "Investigation of relationships between measured field indicators and erosion processes on badland surfaces at patrer", Spain. Caten, 40 (2000) 147-171.
13. C. Fo. Castro, T. J. Logan, "Liming effects on the stability of some Brazilian oxisols", Soil Sci. Soc. Am. J. 55 (1991) 1407-1413.
14. G. J. Green land, D. payne, "Determination of the structural stability class of English and welsh soil using a water coherence test", J. Soil Sci. 46 (1975) 294-303.
15. B. H. Heed, "Characteristics and processes of soil piping in gullies Dep", Of Agric. forest serv, Paper, Rm. 68 (1971) 15.
16. A. C. Imeson, F. J. Kwaad, J. M. Wereraten, "The relationship of soil physical and chemical properties to the development of badland in Morocco", In: Bryan, R. & yair, A. Badland geomorphology and piping (1982) 47-70, Geobooks.
17. W. P. Miller, "Infiltration and soil loss of three gypsum-amended altisols under simulated rain fall", Soil Sci. Soc. AM.J. 51 (1987) 1314-1320.
18. A. M. O. Mohamed, "The role of clay minerals in marly soils on its stability", Engineering Geology, 57 (2000) 193-203.
19. V. R. Ouhadi, R. N. Yong, "The role of clay fraction of marly soil on their post stabilization failure engineering geology (2003).

20. S. M. Rienks, G. A. Botha, J. C. Hughes, "Some physical and chemical properties of sediments exposed in gully(donga) in northern kwazulu-Natal", South Africa and their relationship to the erodibility of the colluvial Layers, South Africa, Hughes University of Natal (1999).
21. C. B. Roth, T. W. Nelson, M. J. M. Romkens, "Prediction of sub soil erodibility using cemical mineralogical and physical parameters environmental protection Agency", Washing (1984).
22. J. B. Thornes," Erosional processes of running water and their spatial and temporal controls: A theoretical viewpoint", In: M.J. Kirkby and R. P. C. Morgan (Editors), SOIL EROSION, Wiley (1980)128-129.